

## تحلیلی آماری بر یخندان‌های ایران زمین

دکتر حسین عساکر<sup>۱</sup>، سهیلا رحیمی<sup>۲</sup>، فاطمه ترکارانی<sup>۳</sup>

### چکیده

حالات دما، نوع تأثیر آن بر محیط را تعیین می‌کند. یکی از حالات بسیار مهم، قابل توجه و مؤثر دما، که به عنوان یک مخاطره جوی به شمار می‌آید، پدیدۀ یخندان است. یخندان به لحاظ تأثیر بر فعالیت‌های اقتصادی و حیاتی از اهمیت ویژه‌ای برخوردار است. به منظور تحلیل آماری یخندان در ایران، داده‌های شبکه‌ای دمای کمینه روزانه ایران، از پایگاه داده اسفزاری ویرایش نخست بهره‌برداری شد. این داده‌ها دارای تفکیک زمانی روزانه از ۱۳۴۰/۰۱/۰۱ تا ۱۳۸۲/۱۰/۱۱ (۱۵۹۹۲ روز) است. تفکیک مکانی داده‌ها  $15 \times 15$  کیلومتر (۷۱۸۷ یاخته) است. بدین ترتیب داده‌های شبکه‌ای دمای کمینه ایران آرایه‌ای به ابعاد  $15992 \times 7187$  و با آرایش گاه جای چیده شد. کلیه تحلیل‌ها بر روی این آرایه انجام شده است. به منظور تحلیل یخندان‌ها و بر اساس آستانه صفر درجه سلسیوس روزهای یخندان و مشخصات توصیفی، آماری و ترسیمی آن‌ها از میان سطراها و ستون‌های آرایه تولید شده استخراج گردید. برای به کار گیری روش‌ها و دست‌یابی به اهداف این تحقیق از نرم افزارهای سورفر و متلب استفاده شد. تحلیل سری زمانی متوسط دما در روزها و یاخته‌هایی که در آن‌ها یخندان رخ داده است، نشان داد که کل روزهایی که یخندان در آن‌ها رخ داد روز از ۱۵۹۹۲ روز بوده است. رفتار نوسانی قوی و روند افزایشی ضعیف و نیز ظهور یک جهش رو به بالا از نیمه دوم دوره آماری از ویژگی‌های این سری زمانی است. الگوی نوسانی مشابه میانگین دمای یخندان‌ها ولی فقدان روند معنی‌داری بر سری زمانی پنهان‌های زیر یخندان حاکم است. کرانه‌های دریای عمان و بخش‌هایی از خلیج فارس در استان هرمزگان طی دوره آماری موردنظر بررسی فاقد یخندان بوده‌اند. نواحی مرتفع دارای یخندان‌هایی با دمای پایین و نواحی کم ارتفاع یخندان‌های با دمای‌های بالاتر را تجربه می‌کرده‌اند؛ اما بررسی‌های آماری رابطه قوی‌تری برای عرض جغرافیایی نشان داده است. میانگین تعداد روزهای یخندان در ایران بین صفر و ۱۴۵ روز قرار دارد. تعداد روزهای یخندان در ایران با ارتفاعات رابطه قابل توجهی دارد. به منظور بررسی شدت یخندان از نمایه چندک‌ها بهره گرفته شد. نتایج نشان داد که شدت یخندان‌ها از دو متغیر مکانی (ارتفاع و عرض جغرافیایی) تبعیت بیش‌تری داشته‌اند.

**کلید واژه‌ها:** ایران، دمای کمینه، شدت یخندان، نمایه صدک، یخندان

### مقدمه

حالات دما تعیین‌کننده نوع تأثیر آن بر محیط و بر سایر عناصر، فرایندها و پدیده‌های اقلیمی است. یکی از حالات بسیار مهم، قابل توجه و مؤثر دما، که بعضاً یک مخاطره اقلیمی به شمار می‌آید، پدیدۀ یخندان است. یخندان حتی از دماست که مقداری برابر یا زیر صفر باشد (مسعودیان و کاویانی، ۱۳۱۷: ۶۶). یخندان به لحاظ تأثیر بر فعالیت‌های اقتصادی (شامل فعالیت‌های صنعتی، کشاورزی، خدمات) و نیز تأثیر بر فعالیت‌های حیاتی (انسان، حیوان و گیاهان) از اهمیت ویژه‌ای برخوردار است. از این رو جنبه‌های مختلف آن مورد اقبال و استقبال محققین پژوهشی

۱-دانشیار اقلیم شناسی - دانشگاه زنجان

۲-کارشناسی ارشد اقلیم شناسی از دانشگاه زنجان

۳-کارشناس ارشد اقلیم شناسی از دانشگاه اصفهان

بوده است. یکی از این جنبه‌ها، تحلیل زمانی این پدیده است. به عنوان مثال بوتسما<sup>۱</sup> (۱۹۷۶) دمای کمینه و احتمال وقوع خطر یخندهان را در یک سرزمین ناهموار در کشور کانادا بررسی کردند. بارون<sup>۲</sup> و همکاران (۱۹۸۴) در بازسازی یخندهان‌های ۱۹۸۰ تا ۱۹۸۳ ماساچوست شرقی، کاهش آشکاری را در یخندهان‌ها طی سده اخیر مشاهده نمودند. لاغلین و کالما<sup>۳</sup> (۱۹۸۷) میانگین سرعت باد و میزان هدر رفت تابش طول موج بلند شباهن را دو متغیری می‌دانند که می‌تواند نزدیک به ۷۵ درصد تغییرات دمای کمینه هوا با ارتفاع را در یک ناحیه چراگاهی به وسعت ۱۷۰ کیلومتر مربع تبیین کند. بر اساس این مدل سرزمین‌های محدب شکل گرمتر و سرزمین‌های مقعر شکل سردر پیش‌بینی می‌شوند. آن‌ها همچنین یک رابطه بین دو فراسنج وسعت حوضه و شبیب برای تبیین ۲۵ درصد مقدار باقیمانده از مدل قبلی توسعه دادند و مشاهده کردند که این مدل جدید ۷۶ درصد تغییرات باقیمانده را که از مدل قبلی تبیین نشده بود، تبیین می‌کرد. بوئر<sup>۴</sup> و همکاران (۱۹۹۳) بعد از استخراج پنج ویژگی یخندهان، یعنی: میانگین اولین و آخرین روز یخندهان، میانگین تعداد روزهای یخندهان، نسبت یخندهان‌های تک روزه و نسبت‌های بدون یخندهان که طول دوره آن‌ها کم تر از ۵ روز است، ایالت نیوساوت ولز استرالیا را با استفاده از تحلیل خوش‌های به چهار ناحیه همگن تقسیم بندي نمودند. تمامی این پنج ویژگی در کل چهار ناحیه مورد مطالعه همبستگی بسیار بالایی با ارتفاع و همبستگی بسیار ضعیفی با عرض جغرافیایی و طول جغرافیایی داشتند. بنابراین ارتفاع به عنوان یک پیش‌بینی کننده سودمند برای این ویژگی‌ها در این ناحیه می‌تواند شناخته شود. استون<sup>۵</sup> و همکاران (۱۹۹۶) با تحلیل سری زمانی یخندهان‌های شمال شرق استرالیا و اثر نوسانات جنوبی بر روی آن‌ها نتیجه گرفتند که یک روند کاهشی در تعداد روزهای یخندهان قابل مشاهده است. لیندکویست<sup>۶</sup> و همکاران (۲۰۰۰) در ارزیابی یخندهان‌های مناطق کوهستانی جنوب سوئد با استفاده از داده‌های شباهن ۸۳ ایستگاه به این نتیجه دست یافتند که بیش از ۹۰ درصد یخندهان‌ها از نوع تابشی و در دره‌های باریک و پس از آن در نواحی مسطح بوده است. سیس مناطق دارای یخندهان را در شش خوش با شدت‌های متفاوت قرار داده‌اند. دایوی<sup>۷</sup> و همکاران (۲۰۰۴) رابطه نوسان شمالی را با تغییرات دمای روزانه فصل زمستان (۱۱ نوامبر تا ۱۳ دسامبر) در چین بررسی کردند و به این نتیجه دست یافتند که تغییرات دما به میزان قابل توجهی کاهش یافته و در ۵۰ سال گذشته نوسان شمالی موجب کاهش روند تغییرات دمای روزانه شده است. بولدیرو<sup>۸</sup> و همکاران (۲۰۰۹) یخندهان‌های فصل سرد سال‌های ۲۰۰۷ و ۲۰۰۸ را در شمال دریایی خزر مطالعه کردند. ایشان دریافتند که فراوانی زیاد گذر واچرخندها در نوامبر ۲۰۰۷ و مارس ۲۰۰۸ موجب تکوین یخندهان‌ها می‌شده است.

در ایران نیز به ویژه طی سال‌های اخیر مطالعه یخندهان‌ها مورد توجه اندیشمندان ایرانی بوده است. به عنوان مثال حجاری زاده و ناصر زاده (۱۳۸۶) به منظور تجزیه و تحلیل یخندهان در استان لرستان از داده‌های حداقل روزانه ده سال آماری از ۱۹۹۸ تا ۱۹۸۹ استفاده کرد و با به کارگیری روش‌های آماری، یخندهان‌های زودرس پاییزه و دیررس بهاره با دوره‌های برگشت مختلف را تعیین و محاسبه نمودند. خورشید دوست و سلمانپور (۱۳۸۷) در تحلیل نوسانات و آستانه‌های یخندهان‌های پاییزه و بهاره شهرستان اهر، نوسانات تاریخ‌های وقوع اولین یخندهان‌های پاییزه و آخرین یخندهان‌های بهاره را در چهار آستانه دمایی مورد مطالعه قرارداده و نوسانات شدید بهاره را به این چهار

1-Boostsma

2-Baron

3-Laughlin and Kalma

4-Boor

5-Stone

6 -Lindkvist

7-Daoyi

8-Boldyrev

آستانه دمایی نسبت دادند. فتاحی و نوحی (۲۰۰۸) توده هواهای موثر بر یخندان جنوب غرب ایران مورد بررسی قرار دادند. ایشان با استفاده از داده‌های دما، نقطه شبنم و فشار تراز دریا برای ۴۵ سال دوره آماری ۱۹۶۱ تا ۲۰۰۵ را بررسی و براین اساس توده‌های هوایی فصل بهار را شناسایی نمودند. بر اساس یافته‌های ایشان، توده‌های هوای فصل بهار شامل توده هوای خشک قطبی، مرطوب قطبی و مرطوب معتدل می‌باشد. توأم با توده هوای خشک قطبی، آسمانی صاف و دما بسیار پایین بوده شدیدترین و گسترده‌ترین یخندان‌های فرارفتی را با خود به همراه داشته است. ربانی و کرمی (۱۳۸۸) با بررسی روند تعداد روزهای یخندان در استان خراسان شمالی طی دوره آماری ۱۹۷۸-۲۰۰۵ با استفاده از روش باکس - جنکینس و نیز روش رگرسیونی به این نتیجه رسید که تعداد روزهای یخندان طی سال‌های آتی همچنان با نوساناتی از روند نزولی برخوردار می‌باشد. رضایی و عابد (۱۳۸۹) در بررسی روند دمای حداقل در ایستگاه همدید شهر رشت با تاکید بر دوره یخندان در یک بازه ۵۰ ساله با روش آماری به این نتیجه دست یافتند که طول دوره یخندان در ایستگاه مورد مطالعه روند کاهشی داشته و از ۱۰۰ روز به ۸۰ روز رسیده و فراوانی روزهای یخندان نیز کاهش یافته است. طاوسی و درخشی (۱۳۸۹) احتمال وقوع و دوره‌های برگشت یخندان‌های زودرس و دیررس زاهدان را در دوره آماری ۱۳۶۰-۱۳۸۶ با استفاده از دمای حداقل روزانه مطالعه نمودند. ایشان به این نتیجه دست یافتند که یخندان‌های زودرس و دیررس از هر دو سوی فصل زمستان، به سمت فصل زمستان در حال عقب‌نشینی است. بنابراین فصل یخندان در زاهدان کوتاه‌تر شده است. عساکره (۱۳۸۹) احتمال تواتر و تداوم یخندان‌های زودرس و دیررس شهر زنجان را با بهره‌گیری از آمار میانگین دمای حداقل روزانه ماه‌های مهر و فروردین و استفاده از تکنیک زنجیره مارکوف تجزیه و تحلیل نمود. ایشان احتمال وقوع یخندان را در هر روز برای فروردین ۳۵۱۹٪ و برای مهرماه ۰٪ محاسبه نمود و احتمال تداوم های ۲ تا ۵ روزه و نیز احتمال وقوع یخندان با شدت‌های مختلف برای روزهای فروردین و مهر محاسبه و ترسیم نمود. تداوم روزهای یخندان در گستره ایران با استفاده از مدل زنجیره مارکوف توسط علیجانی و همکاران (۱۳۸۹) مطالعه شده است. آن‌ها در این مطالعه بعد از استخراج تداوم‌های ۲، ۳ و ۴ روزه یخندان‌ها و تهیه نقشه‌های پهنه‌بندی آن‌ها به این نتیجه رسیدند که وقوع روزهای یخندان در ایران به جز نواحی شمالی و جنوبی کشور که عموماً فاقد یخندان هستند از مدل زنجیره مارکوف تبعیت می‌کنند؛ یعنی: وقوع روز یا روزهای یخندان به شرایط جوی روزهای گذشته وابسته است. این وابستگی برای دو ماه اکتبر و می که به ترتیب یخندان‌های زودرس پاییزه و دیررس بهاره مشهور هستند، از زنجیره مارکوف مرتبه اول دو حالته تبعیت می‌کنند. در حالی که برای دیگر ماههای نیمه سرد سال تداوم یخندان‌ها از زنجیره مارکوف مرتبه دوم و سوم دو حالته پیروی می‌کنند. فرج زاده و حسینی (۱۳۸۹) با تحلیل و پهنه‌بندی زمانی- مکانی یخندان در ایران، میانگین سالانه روزهای یخندان را ۶۲ روز با میانگین دمای -۳ درجه سلسیوس محاسبه نمودند. ایشان در یک پهنه‌بندی، منطقه غرب، شمال غرب و البرز را توأم با یخندان‌های بسیار شدید و شمال را با یخندان کم مقدار پهنه‌بندی کردند. منتظری (۱۳۸۹) به منظور بررسی و تحلیل آماری پدیده یخندان در شهرستان نجف آباد با استفاده از داده‌های دمای شبانه با اعمال رگرسیون خطی به روش آزمون بتا و روش ناپارامتری مان- کنдал، به این نتایج دست یافت که تعداد روزهای یخندان در نجف آباد کاهش نیافته، اما وقوع یخندان‌های شدید رو به کاهش بوده و از سوی دیگر فراوانی وقوع دماهای صفر درجه به شدت رو به افزایش بوده است.

در تحقیق حاضر تلاش می‌شود، برخی مشخصات توصیفی یخندهان‌های ایران زمین در بستر زمان و مکان ارائه و تحلیل گردد. بنابراین روش تحقیق تحلیل توصیفی و بر اساس تکنیک‌های آماری خواهد بود. در این راستا از داده‌های شبکه‌ای حدود ۴۳ ساله بهره گرفته خواهد شد.

### داده‌ها و روش‌ها

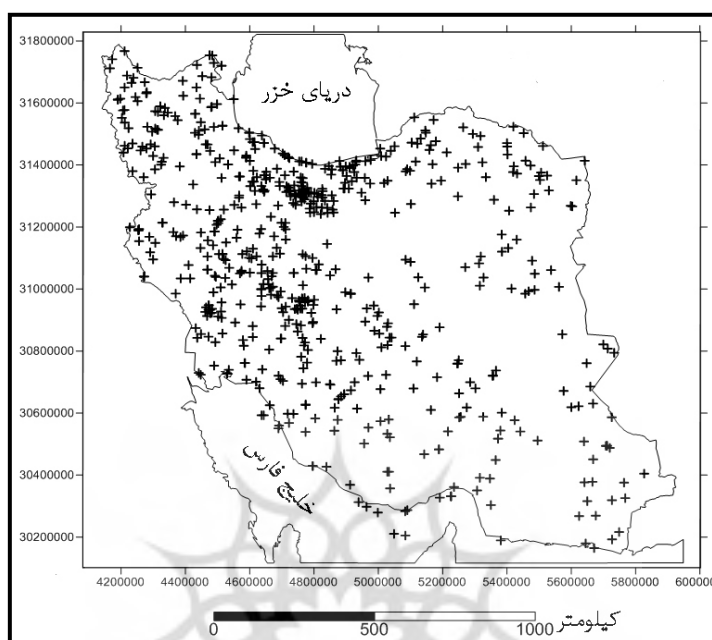
در این پژوهش داده‌های شبکه‌ای دمای کمینه روزانه ایران، از پایگاه داده اسفلزاری ویرایش نخست که در دانشگاه اصفهان و به وسیله دکتر سید ابوالفضل مسعودیان طراحی گردیده، برداشت شده است. این داده‌ها دارای تفکیک زمانی روزانه از ۱۳۴۰/۱۰/۱۱ تا ۱۳۸۳/۱۰/۱۱ است. تفکیک مکانی داده‌ها  $15 \times 15$  کیلومتر است که در سیستم تصویر لامبرت مخروطی هم‌شکل نگاشته شده‌اند. با توجه به مختصات یاد شده سراسر ایران با ۷۱۸۷ یاخته پوشیده می‌شود. بر این اساس داده‌های شبکه‌ای دمای ایران آرایه‌ای است به ابعاد  $15992 \times 7187$  که با آرایش گاه جای<sup>۱</sup> (زمان بر روی سطرها و مکان بر روی ستون‌ها) چیده شده است. درایه‌های این آرایه به کمک داده‌های ۶۶۳ ایستگاه همدید و اقلیمی و با روش میانیابی کریگینگ برآورده شده است. پراکندگی مکانی ایستگاه‌های مورد استفاده در شکل (۱) ارائه شده است. برای برآورده داده‌های شبکه‌ای هر روز از داده‌های همه ایستگاه‌هایی که در آن روز دمای کمینه را اندازه‌گیری کرده بودند، بهره‌برداری شده است. بنابراین در برخی روزها تعداد اندازه‌گیری‌ها کمتر و در برخی روزها بیشتر بوده است.

به منظور تحلیل یخندهان‌ها و بر اساس آستانه صفر درجه سلسیوس روزهای یخندهان از میان سطرها و ستون‌های آرایه تولید شده استخراج گردید. سپس مشخصات توصیفی یخندهان‌هایی که طی ۱۵۹۹۲ روز برای هر یاخته رخ داده است، محاسبه شد. نتایج مربوط بر پایه روش‌های آماری – ترسیمی ارائه گردید. در نهایت روابط زمانی – مکانی یخندهان‌ها از روش پارامتری همبستگی و رگرسیون خطی بررسی و تحلیل شد. به منظور بررسی شدت یخندهان‌ها (بسیار شدید، کم شدت و متوسط) برای هر یاخته و هر روز صدک‌های بحرانی (دهم و نودم) و صدک متوسط (دمای بین صدک ده و صدک نود) یخندهان‌های رخ داده محاسبه شد. صدک دهم دمای یخندهان‌ها برای هر یاخته به عنوان آستانه یخندهان شدید، صدک نودم دمای یخندهان‌ها برای هر یاخته به عنوان آستانه یخندهان ضعیف و دمای بین صدک‌های دهم و نودم یخندهان‌ها برای هر یاخته به عنوان آستانه یخندهان‌های متوسط تلقی شد. بدیهی است در این صورت یخندهان شدید، ضعیف و متوسط برای هر یاخته از نقشه ایران زمین با یاخته‌های دیگر متفاوت خواهد بود. برای به کارگیری روش‌ها و دستیابی به اهداف این تحقیق از نرم افزارهای سورفر<sup>۲</sup> و متلب<sup>۳</sup> استفاده شد.

1- S-Mode

2- Surfer

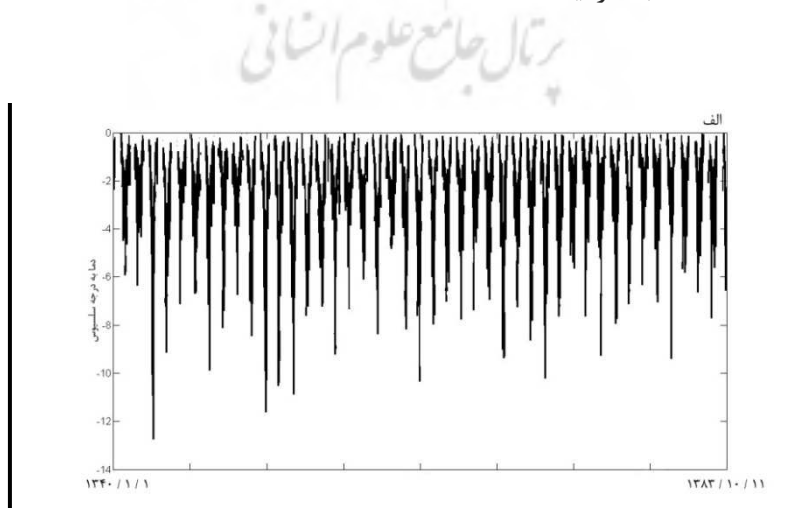
3 - MATLAB

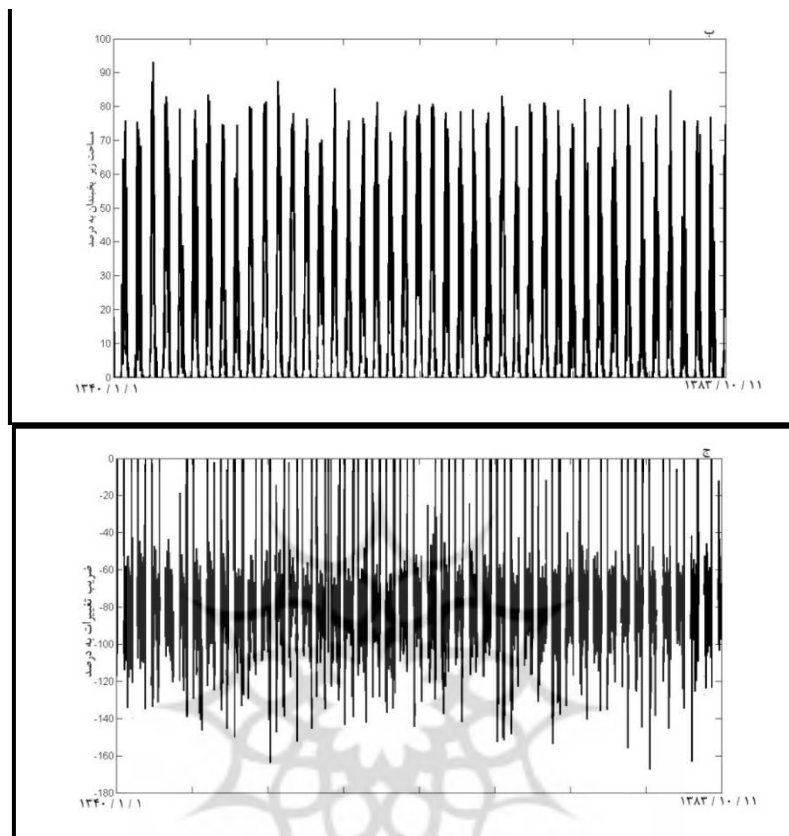


شکل ۱: توزیع مکانی ایستگاه‌های مورد استفاده در میان یابی

### یافته‌ها و نتایج مشخصات زمانی یخندان‌های ایران زمین

جهت بررسی و تحلیل آماری یخندان‌های ایران، برای کل دوره آماری و برای هر یاخته، یخندان‌های رخ داده استخراج شد. شکل ۲-الف، سری زمانی متوسط دما در روزها و یاخته‌هایی که در آن‌ها یخندان رخ داده است را نشان می‌دهد. برای به دست آوردن این نمودار، میانگین یخندان هر روز در کل دوره آماری برای یاخته‌هایی که در آن‌ها یخندان رخ داده است محاسبه گردید.





شکل ۲: تغییرات زمانی میانگین دما (الف) مساحت تحت پوشش (ب) و ضریب تغییرات مکانی (ج) یخندان در ایران زمین

کل روزهایی که یخندان در آن‌ها رخ داد ۹۲۴ روز از ۹۹۲ روز بوده است. مشخصات آماری این سری زمانی در جدول (۱) آمده است. بر اساس این جدول متوسط دمای یخندان کشور حدود  $2/5$  درجه سلسیوس زیر صفر و با ضریب تغییرات بسیار بالایی رخ می‌دهد. این امر به دلیل رخداد دماهای بسیار شدید اما نادر در برخی از روزهایت. به عنوان مثال تنها  $2/7$  درصد از یخندان‌های ایران طی روزهای تؤام با یخندان بین  $-12/7$  درجه سلسیوس (مربوط به یکم بهمن ماه ۱۳۴۲) بوده است. همچنانی به دلیل منفی بودن ضریب چولگی می‌توان استنباط نمود که دماهای یخندان تمایل به صفر درجه سلسیوس داشته‌اند و تمایل به دماهای بسیار کمتر از صفر محدودتر بوده است. این وضعیت در مرکز بیشتر دماهای یخندان در اطراف محور افقی بالای نمودار دیده می‌شود. همچنانی چارک‌های اول و سوم نیز دامنه اقلیمی دماهای یخندان را نشان می‌دهند. در واقع شرایط معمول دماهای یخندان بین این دو آستانه در تغییر بوده‌اند. بدیهی است دماهای فراتر و فروتر از این آستانه‌ها به عنوان دماهای غیر معمول تلقی می‌شوند. کشیدگی مثبت ( $2/53$ ) نیز بیان‌گر مرکز دماهای یخندان حول میانگین و افراستگی توزیع فراوانی یخندان‌هاست.

جدول ۱: مشخصات عمومی یخندان ایران

نمايه ميانگين	ميانيه	كمينه	بيشينه	دامنه	پراش	انحراف استاندارد	ضرير تغييرات	چولگي	کشيدگى	چارك اول	چارك سوم
-۲/۵	-۱/۹۹	-۱۲/۸	۰	۱۲/۷۴	۳/۲	۱/۷۸	۷۰	-۱/۴	۲/۵۳	-۳/۳	-۱/۲

همان‌گونه که در شکل (۲) الف دیده می‌شود، رفتار نوسانی دماها و نیز گستنگی در خط نماینده دما گویای رفتار نوسانی یخندان‌هاست که حاصل طبیعت فصلی بودن آن‌هاست. علاوه بر این رفتار نوسانی، یک روند افزایشی در میانگین دمای یخندان‌ها دیده می‌شود که گویای بالا رفتن دمای کمینه و کاهش شدت یخندان‌هاست. با این وصف رابطه ضعیفی بین دما - زمان ( $r=0.06$ ) به دست آمد. معادله خط برآورده برای مشاهدات به شکل زیر به دست آمد:

$$F = 0.00002t - 2.68$$

این بدان معنی است که روزانه ۰/۰۰۰۰۲ درجه سلسیوس (۲۰ درجه در حدود هر ۲۷ سال) بر دمای یخندان‌ها افزوده می‌شود. نمودار گویای این مطلب است که اگر دوره مورد مطالعه را به دو نیم دوره تقسیم کنیم؛ پایین‌ترین دمای یخندان که با شدت بیشتری نوسان داشته است، در طی نیمه اول دوره آماری (۸۰۰۰ روز اول) قابل مشاهده می‌باشد. به منظور ایجاد تصویری ذهنی از مشخصات مکانی یخندان در هر روز، دو مشخصه مورد بررسی قرار گرفت؛ اول برای هر روز درصد پهنه کشور که زیر پوشش یخندان قرار گرفته بود، محاسبه شد و دوم ضریب تغییرات مکانی در معرض توجه قرار گرفت.

سری زمانی درصد پهنه زیر پوشش یخندان را می‌توان در شکل (۲ب) مشاهده کرد. متوسط مساحت زیر پوشش یخندان برای تمامی روزهای یخندان مورد مطالعه بین صفر تا ۵۵ درصد از پهنه کشور را در بر می‌گیرد. در فصول گرم میزان متوسط درصد پهنه زیر پوشش صفر و برای فصول سرد این متوسط به ۵۵ درصد می‌رسد. حدود ۶/۸ درصد از روزها مساحتی بیش از ۶۰ درصد کل کشور زیر پوشش یخندان بوده است. این یخندان‌ها در فصل‌های سرد و عمدها در ماه‌های آذر تا بهمن رخ داده‌اند.

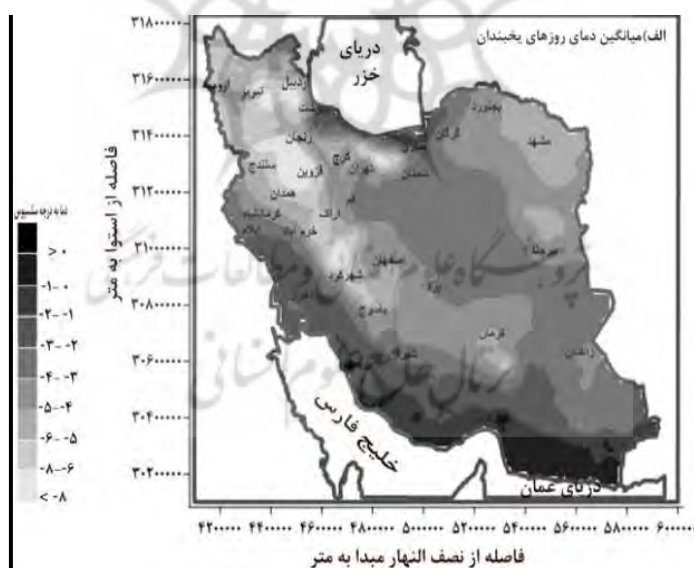
بیشترین درصد مساحت زیر پوشش یخندان در پنج روز متوالی سوم تا هفتم بهمن سال ۱۳۴۲ بیش از نود درصد پهنه کشور را در بر گرفته است. الگوی نوسانی مشابه میانگین دمای یخندان‌ها بر سری زمانی درصد پهنه زیر پوشش یخندان حاکم است. با این وصف برخلاف متوسط دمای یخندان، این نوسان‌ها فاقد روند معنی‌داری بوده است. بنابراین می‌توان استنباط کرد که علی رغم افزایش دمای یخندان، پهنه‌های زیر پوشش از ثبات نسبی برخوردار بوده‌اند.

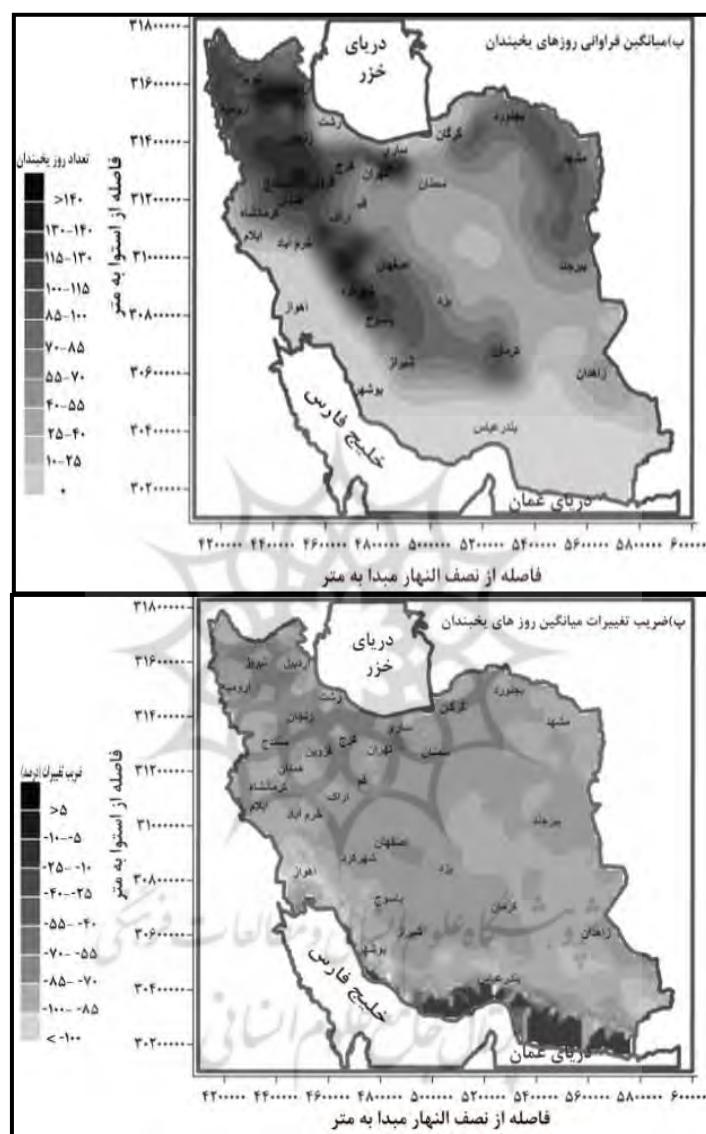
ضریب تغییرات زمانی پهنه‌های زیر پوشش یخندان برای هر روز در شکل (۲-ج) ارائه شده است. بدیهی است در شرایط عدم رخداد یخندان، ضریب تغییرات مکانی به صفر میل می‌کند. در روزهای توأم با یخندان مقادیر ضریب تغییرات مکانی تا بیش از ۱۶۰ درصد می‌رسد. همبستگی منفی بسیار کم (۰/۱۵۱) میان ضریب تغییرات و میانگین دمای یخندان در روزهای مختلف بیان می‌دارد کاهش ضریب تغییرات با افزایش میانگین دمای روزهای یخندان همراه است. با این وصف بیشتر ضریب تغییرات مکانی یخندان بین ۶۰ تا ۱۰۰ درصد را نشان می‌دهند. این مقادیر

بيان گر این موضوع هستند که نقاط مختلف به لحاظ میزان یخ‌بندان حدود ۶۰ تا ۱۰۰ درصد بالاتر یا پایین‌تر از میانگین پهنه زیر پوشش یخ‌بندان تغییر می‌کنند. برای دریافت دقیق‌تر این اعداد به توضیح زیر توجه کنید: در بالا گفته شد که در شرایط یخ‌بندان، به طور متوسط ۵۵ درصد از پهنه کشور زیر پوشش یخ‌بندان است. بدیهی است در شرایطی که ضریب تغییرات مکانی ۱۰۰ درصد است، بدین معنی است که نصف پهنه، توأم با یخ‌بندان و نصف پهنه، بدون یخ‌بندان است. در شرایطی که مثلاً مقدار ضریب تغییرات مکانی ۶۰ درصد است بدین معنی است که ۶۰ درصد از ۵۵ درصد (۳۳ درصد) کمتر و بیش‌تر از این مقدار بین نواحی زیر پوشش یخ‌بندان و آزاد از یخ‌بندان هستند. تغییرات بیش‌تر و کمتر از این مقادیر ضرایب بسیار بالا و بسیار پایین را نشان می‌دهند. بیش‌ترین مقادیر این ضرایب در ماه‌های مهر، اردیبهشت، آبان و اواخر ماه فروردین با مقادیر بیش از ۱۵۰ درصد رخداده است. میان ضریب تغییرات یخ‌بندان با میانگین دمای یخ‌بندان یک رابطه منفی (-۰/۱۵۱) وجود دارد. این بدان معنی است که با افزایش تفاوت‌های مکانی دمای یخ‌بندان کاسته می‌شده است. یعنی یخ‌بندان‌های با گستره کوچک‌تر، شدیدتر و در گستره بزرگ‌تر باشد کمتر رخ می‌داده‌اند.

## مشخصات مکانی یخنده‌های ایران زمین

برای تحلیل مکانی یخندان‌ها، برای هر یاخته متوسط، فراوانی و ضریب تغییرات یخندان محاسبه و توزیع مکانی آن در نقشه‌های ارائه شده در شکل ۳ مشخص گردیده است:





شکل ۳: میانگین دما(الف)، تعداد روز ها(ب) و ضریب تغییرات(پ) یخندان‌های ایران

میانگین دمای یخندان هر یاخته در طول دوره آماری در شکل (۳) الف نمایش داده شده است. بر اساس این شکل کرانه‌های دریای عمان و بخش‌هایی از خلیج فارس در استان هرمزگان (۵ درصد مساحت ایران) طی دوره آماری مورد بررسی فاقد یخندان بوده است. نواحی مرتفع دارای یخندان‌هایی با دمای پایین تر از ۵ درجه سلسیوس ( $11/8$  درصد مساحت ایران) با چهار هسته کمینه دمای یخندان در محور کوهستانی شمال غرب-جنوب شرق (زاگرس مرتفع، کوهستان‌های شمال غرب، شمال کردستان) و یک هسته در البرز مرکزی می‌باشد.  $13/4$  درصد مساحت ایران با متوسط دمای بین ۴-۵ درجه سلسیوس در ارتفاعات شمال شرق، دامنه‌های غربی و شرقی زاگرس، دامنه‌های جنوبی البرز شرقی و دامنه‌های شمالی سهند و سبلان قرار دارند.  $23/1$  درصد از

مساحت کشور با متوسط دما بین ۳- تا ۴- درجه سلسیوس را پوشش می‌دهند. ۳۲/۸ درصد مساحت ایران را دمای بین ۳- تا ۲- درجه در شرق، نواحی مرکزی و جنوب شرق ایران پوشش می‌دهد. ۱۹ درصد مساحت ایران را متوسط دمای یخبدان بالاتر از ۲- به خود اختصاص می‌دهد. این مساحت نواحی کم ارتفاع جلگه‌های شمالی و جنوبی را شامل می‌شود. در دامنه‌های غربی زاگرس متوسط دما، به تبعیت از ارتفاع کاسته می‌شود و میانگین دما از -۸- در ارتفاعات به ۱/۵- درجه در دامنه‌های آن می‌رسد. همبستگی معکوس و قابل توجه (-۰/۳۴۱)- میان متوسط دمای یخبدان و ارتفاع نیز این امر را تایید می‌کند. با این وجود چنان که در شکل‌ها می‌توان دید، عرض جغرافیایی بیشترین ارتباط را با میانگین دمای یخبدان دارد. از عرض‌های جنوبی به سمت عرض‌های شمالی کشور میزان دما کاهش می‌یابد. با افزایش عرض جغرافیایی بر ارتفاعات کشور افزوده می‌گردد و زاویه تابش خورشید مایل‌تر می‌گردد این عوامل می‌تواند بر تأثیر بیشتر عرض جغرافیایی بر کاهش دمای یخبدان دخالت داشته باشند. میزان همبستگی شمار روزهای یخبدان و ارتفاع حدود ۳۹۹/۰ است. در این زمینه نقش عرض جغرافیایی بارزتر از سایر فراسنج‌هاست. با توجه به نقشه (۳- ب)، دامنه میانگین تعداد روزهای یخبدان در ایران بین صفر و ۱۴۵ روز قرار دارد.

از دامنه‌های غربی زاگرس، دامنه کوههای البرز مرکزی، دامنه کوههای شمال غرب و نیز دامنه کوههای بزمان به سمت بخش‌های مرتفع آن‌ها تعداد روزهای یخبدان از ۱۱۵ روز به ۱۴۵ روز و از این دامنه‌ها به سمت نواحی کم ارتفاع اطراف، شمار روزهای یخبدان به ۵ روز می‌رسد. محور کوهستانی شمال غرب - جنوب شرق دارای چندین هسته بیشینه روزهای یخبدان است. تعداد روزهای یخبدان در شمال کردستان و زاگرس از ۱۱۵ تا ۱۳۵ روز، در شمال غرب دارای بیش از ۱۳۵ روز و بیشینه تعداد روزهای یخبدان ایران در سبلان با ۱۴۵ روز مشاهده شده است. ارتفاعات شمال شرق دارای دو هسته دو ۹۵ تا ۱۰۰ روز با میانگین دمای ۸- درجه، در رتبه دوم قرار دارد. کوههای بزمان نیز با ۹۵ روز یخبدان و میانگین دمای ۴- درجه می‌توان جزء نواحی جنوبی با یخبدان قابل توجه دانست. زیرا سواحل جنوبی، جنوب غرب و جنوب شرق فاقد یخبدان و یا یخبدان‌های ناچیزی را تجربه کرده‌اند. نواحی مرکزی ۲۵ تا ۳۵ روز و سواحل شمالی ۱۰ تا ۲۵ روز یخبدان را به طور متوسط تجربه کرده‌اند.

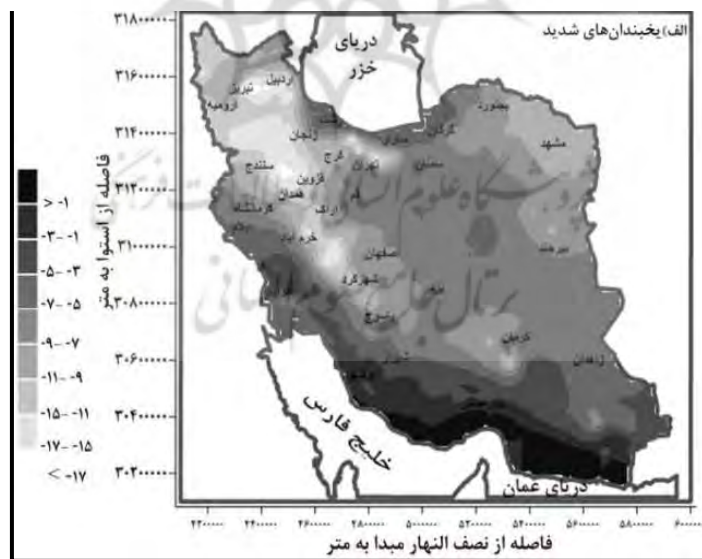
ضریب تغییرات یخبدان هر یاخته در طول دوره آماری در شکل ۲- ج، نمایش داده شده است. دامنه ضریب تغییرات میانگین دمای یخبدان ایران زمین بین صفر و تا بیش تر از ۱۰۰ می‌باشد. تقریباً بیش تر پهنه ایران با مساحت ۵۱/۷ درصد در دامنه تغییرات ۷۰ تا ۸۵ درصد در شرق، شمال شرق، بخش‌هایی از نواحی داخلی ایران، دامنه‌های بادپناه زاگرس و دامنه‌های جنوبی البرز قرار گرفته است که نشان از عدم یکنواختی دمای یخبدان در این پهنه دارد؛ دلیل آن را می‌توان در گستردگی ایران در عرض جغرافیایی و تنوع عوامل آب و هوایی ذکر کرد. مناطق مرتفع شمال شرق، نواحی پست داخلی و جنوب شرق، بخش‌های کم ارتفاع غرب و شمال غرب (با مساحت ۳۸/۸ درصد) دارای ضریب تغییرات بین ۸۵ تا ۱۰۰ درصد می‌باشند. بیشترین ضریب تغییرات رخ داده با رقم بالاتر از ۱۰۰ درصد در جلگه خوزستان و چاله جازموریان با مساحت ۶/۵ درصد از کل پهنه کشور قرار دارد. بخش‌های باریکی در کرانه‌های دریای عمان در جنوب و سواحل خلیج فارس در استان هرمزگان با مساحت ۸/۰ درصد دارای ضریب تغییراتی بین ۲۵ تا ۵ درصد می‌باشند. همبستگی بسیار ضعیف و مثبت ضریب تغییرات یخبدان‌ها با ارتفاع (۰/۰۲۷) و عرض جغرافیایی (۰/۰۶۱) گویای تنوع مکانی زیاد ضریب تغییرات یخبدان و مستقل از تاثیر این متغیرهای مکانی است. جدول (۲) ضریب همبستگی متوسط دمای یخبدان و متغیرهای مکانی را نشان می‌دهد. این ضرایب در هر سطح دلخواه معنی دار هستند.

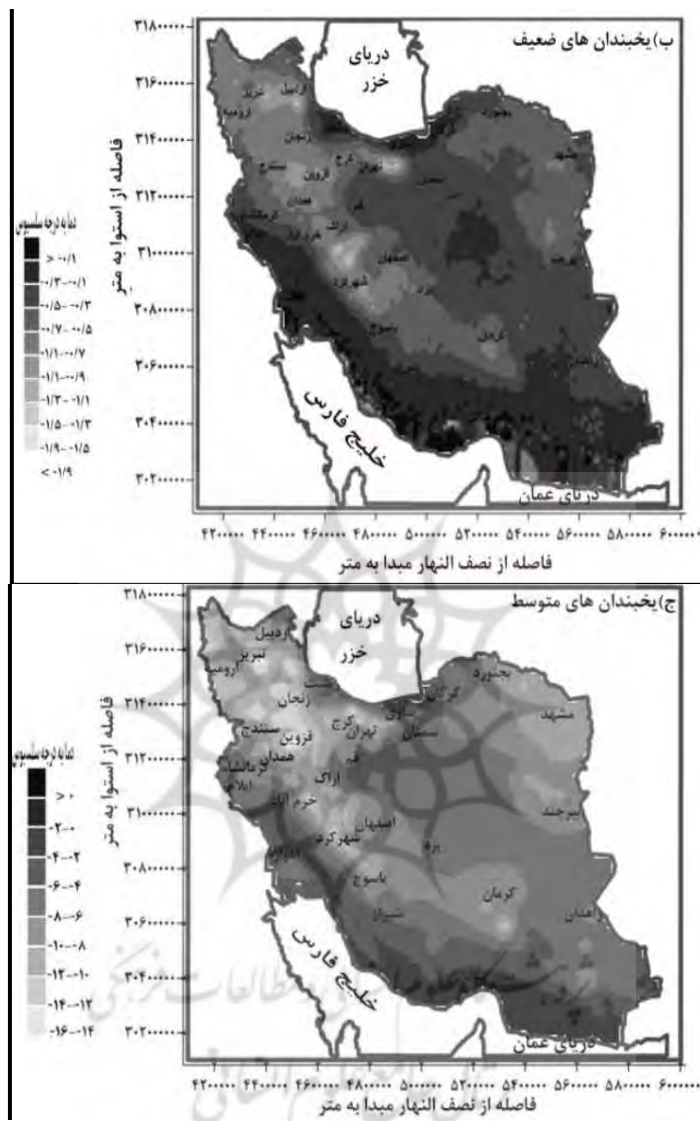
جدول ۲: رابطه مشخصات یخندان و متغیرهای مکانی

ارتفاع	طول جغرافیایی	عرض جغرافیایی	
-۰/۳۴۱	۰/۳۶۵	-۰/۶۶	متوسط دمای یخندان
۰/۳۹۹	-۰/۴۱۵	۰/۶۷۷	فراوانی روزهای یخندان
۰/۰۲۷	-	۰/۰۶۱	ضریب تغییرات

### شدت یخندان‌های ایران زمین

شکل (۴) پراکندگی مکانی یخندان‌های ضعیف، شدید و متوسط را نشان می‌دهد. در شکل (۴-الف)، یخندان‌های شدید کشور در دامنه دمایی ۱-تا ۱۷ درجه سلسیوس قرار دارند. ۳۹/۸ درصد از پهنه ایران دامنه دمایی ۷-تا ۱۷ درجه را در نواحی کوهستانی در بر می‌گیرد. بیشترین پراکندگی مکانی این یخندان‌ها را نواحی کوهستانی زاگرس، بخش‌های مرتفع البرز مرکزی و پس از آن کوه‌های بزمان و کوه‌های شمال شرق کشور (در مجموع با مساحت ۲۱/۶ درصد) دمای کم تر از ۹ درجه را تجربه کرده‌اند.





شکل ۴: پراکندگی مکانی یخندهای شدید(الف)، ضعیف (ب) و متوسط(ج)

بر اساس آن چه در جدول (۳) ارائه شده است، ضریب همبستگی یخندهای شدید با متغیرهای مکانی، گویای همبستگی منفی دمای یخندهان با ارتفاع (-۰/۳۳۶) است. این رابطه، شدیدترین دماهای یخندهان ایران زمین را به بخش‌های کوهستانی کشور نسبت می‌دهد؛ اما نقش عرض جغرافیایی (همبستگی (-۰/۶۵۲) در شدت یخندهان بسیار مشهودتر از ارتفاع و طول جغرافیایی است. به عنوان مثال در عرض‌های پایین جغرافیایی شدیدترین دماهای یخندهان رخ داده به سمت صفر نزدیک‌تر است. در حالی که عرض‌های بالاتر، یخندهای شدیدتری را تجربه کرده‌اند. توجه به نقشه (الف)، سه پهنه بسیار شدید را نشان می‌دهد؛ یکی در امتداد کوه‌های زاگرس، دومی در شمال غرب کشور و سومی در شمال شرق ایران دیده می‌شود. پهنه نخست اثر ارتفاعات و دو پهنه دیگر اثر مجاورت با پرفسار حرارتی سیبری و کوه‌های قفقاز را به عنوان منابع ریزش سرما نشان می‌دهد. بنابراین دو عامل عرض جغرافیایی و ارتفاع عوامل غالب در رخداد شدیدترین یخندهان‌ها است.

جدول ۳: رابطه شدت یخندان و متغیرهای مکانی

ارتفاع	طول جغرافیایی	عرض جغرافیایی
-۰/۳۳۶	۰/۳۶۳	-۰/۶۵۲
-۰/۳۳۲	۰/۳۵۹	-۰/۶۵۴
-۰/۳۳۶	۰/۳۵۸	-۰/۵۳۹

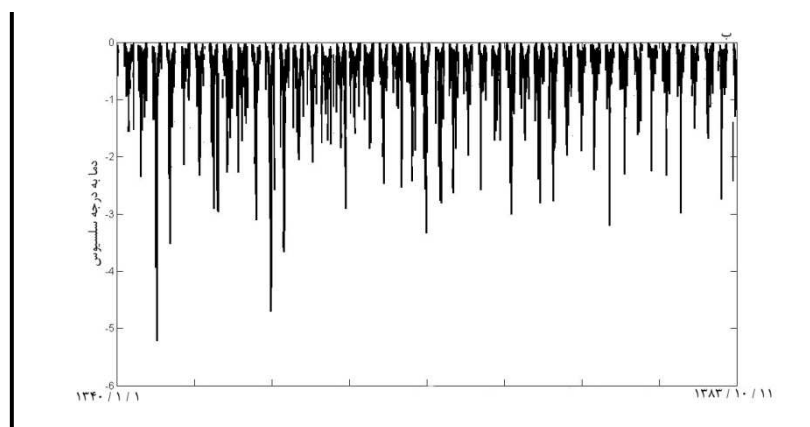
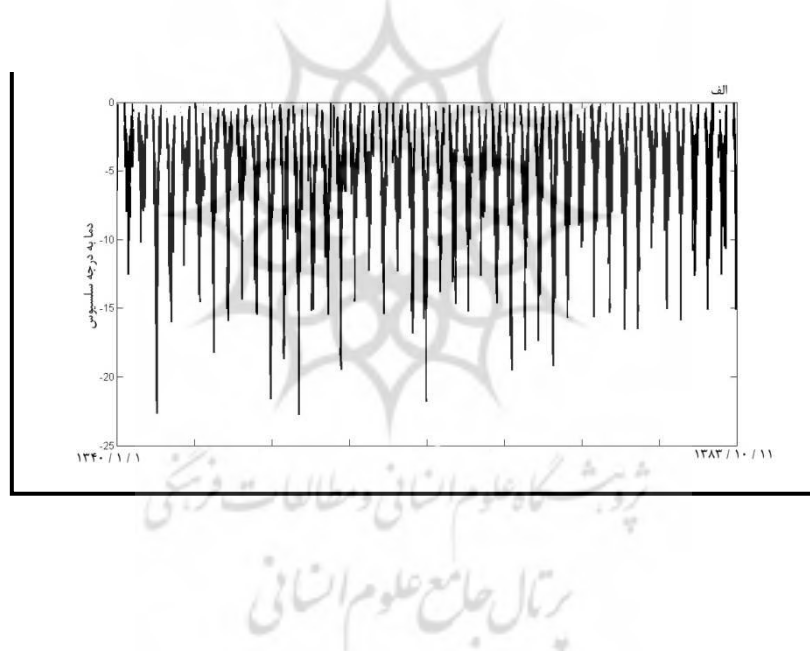
شکل(۴ب)، یخندان‌های کم شدت ایران را نشان می‌دهد. بر اساس این شکل دماهای یخندان برای این نوع یخندان‌ها در دامنه دمایی صفر تا ۱/۹ درجه سلسیوس است. پهنه‌های وسیعی از ایران در این رده دمایی یخندان قرار دارد. ۱/۵ درصد مساحت ایران زمین در دامنه دمایی ۱/۹- تا ۱ در پهنه‌های کوچکی از نواحی مرتفع سبلان، سهند، دماوند و چند قله مرتفع در زاگرس قرار دارد.

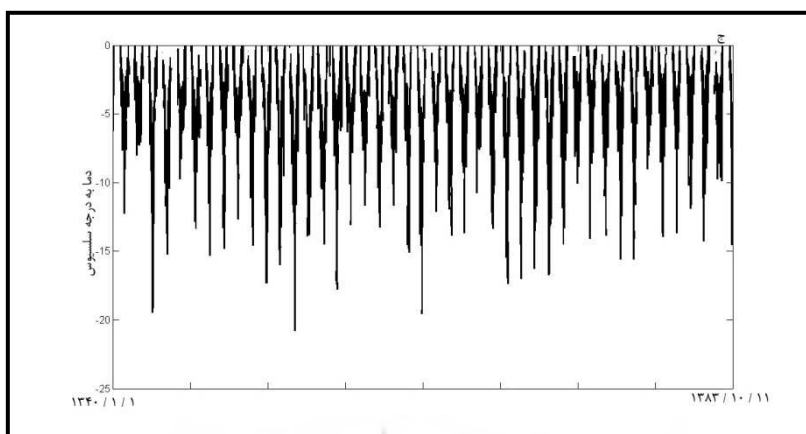
پهنه‌های وسیع تری در بخش‌های کوهستانی شمال غرب - جنوب شرق، شمال شرق و بزمان با پوشش ۳۷/۳ درصدی مساحت ایران دمایی بین ۱- تا ۰/۵- را دارا می‌باشند. ۴۲/۸ درصد مساحت کشور با دمای ۰/۵- تا ۰/۲۵ نوار باریکی از غرب، جنوب غرب، تمام نواحی داخلی و شرق را در بر می‌گیرد. تمام سواحل جنوبی در خلیج فارس و دریای عمان و کرانه‌های دریای خزر (مساحت ۱۸/۴ درصد) دمای بیشتر از ۰/۲۵- را به خود اختصاص داده‌اند. به طور کلی می‌توان گفت که یخندان‌های کم شدت ایران زمین در پهنه وسیعی با مساحت ۸۰ درصد، در دامنه دمایی ۰/۲۵- تا ۱- درجه قرار دارند. از تفاوت‌های مهم یخندان‌های ضعیف و شدید، علاوه بر تفاوت‌های دمایی، افزایش سهم نوار جنوبی کشور و نیز بخش قابل توجهی از کویر مرکزی ایران است. با توجه جدول (۳) ضریب همبستگی متوسط و مثبتی بین یخندان‌های ضعیف و عرض جغرافیایی وجود دارد. همچنین همبستگی مثبت ۰/۳۵۸ طول جغرافیایی و دمای یخندان افزایش دما را از غرب به شرق و همبستگی ۰/۳۳۶- دما با ارتفاع کاهش دما را با افزایش ارتفاع نشان می‌دهد.

با توجه به شکل(۴ج)، یخندان‌های متوسط ایران زمین در دامنه دمایی صفر تا ۱۵/۱۶ درجه سلسیوس قرار دارند. در یخندان‌های متوسط نیز همانند یخندان‌های شدید و ضعیف، بخش‌های کوهستانی پایین‌ترین دماها را به خود اختصاص داده‌اند. بخش‌های مرتفع کوهستان‌های شمال غرب و زاگرس (مساحت ۴/۸ درصد) دمای پایین‌تر از ۱۲- درجه را دارا می‌باشند. پس از آن کوه‌های شمال شرق، شمال غرب و بزمان بادامنه دمایی ۱۰- تا ۱۲- درجه، ۷/۱ درصد مساحت ایران را تحت پوشش قرار می‌دهند. دمای بین ۶- تا ۱۰- درجه ۳۵/۹ درصد مساحت ایران را در محدوده وسیعی از شمال شرق و دامنه‌های محور کوهستانی شمال غرب - جنوب شرق پوشش می‌دهد. شرق، نواحی داخلی و جنوب شرق و بخش باریکی از غرب ایران زمین (مساحت ۳۵/۵ درصد) دمای ۴- تا ۶- درجه را دارا می‌باشند. جلگه خوزستان و نوار باریکی در امتداد دریای عمان و خلیج فارس با فاصله اندکی از ساحل دمایی بین ۲- تا ۴- را به خود اختصاص داده‌اند. کرانه‌های خلیج فارس، دریای عمان در قسمت‌های بسیار کوچکی با مساحت ۳/۵ درصد دمای نزدیک به صفر را تجربه کرده‌اند. ضریب همبستگی یخندان‌های متوسط با پارامترهای مکانی، همانند یخندان‌های شدید و ضعیف ارتباط منفی را با عرض جغرافیایی (-۰/۶۵۴) و ارتفاع (-۰/۳۳۲) دارد.

شکل(۵) مشخصات سری زمانی شدت‌های مختلف یخندان‌ها را نشان می‌دهد. شکل(۵) الف سری زمانی یخندان‌های شدید را برای هر روز طی دوره مورد مطالعه نمایش می‌دهد. می‌توان دید که ده درصد یخندان‌های

ایران در دامنه دمایی صفر تا -۲۲- درجه قرار داردند. به طور متوسط در گستره ایران یخ‌بندان‌های شدید بین صفر تا -۱۳- درجه سلسیوس بوده است. دماهای کم تر از ۱۳- درجه سلسیوس تنها ۱/۷ درصد کل دماهای شدید را به خود اختصاص می‌دهند. شدیدترین یخ‌بندان‌ها در طی ۱۵۹۹۲ روز با دمای -۲۲- درجه سلسیوس در روزهای یکم، چهارم و پنجم بهمن‌ماه سال ۱۳۴۲ و شانزدهم و هفدهم بهمن ماه‌سال ۱۳۵۲ اتفاق افتاده است. یخ‌بندان‌های بسیار شدید با دمای بین -۱۹- تا -۲۲- عموماً در روزهای دی و بهمن سال‌های، ۱۳۶۷، ۱۳۷۰، ۱۳۶۱، ۱۳۵۵، ۱۳۵۲، ۱۳۶۱، ۱۳۵۵، ۱۳۴۲، ۱۳۵- با دمای مشاهده نمود. با توجه به شکل می‌توان دریافت که با گذشت زمان دماهای بسیار پایین یخ‌بندان (کم تر از -۱۵-) کاهش می‌یابد. اگر روزهای دوره مورد مطالعه به دو دوره تقسیم شود، دوره اول دارای تناوب‌های یکسان و افزایشی می‌باشد. همبستگی بسیار کم و منفی -۰/۰۶- بین دماهای شدید دوره اول با زمان وجود دارد. این امر بر افزایش دماهای یخ‌بندان دلالت دارد. دوره دوم روندی کاهشی در دماهای یخ‌بندان شدید را نشان می‌دهد. با این وصف همبستگی بسیار کم -۰/۰۵۹- بین زمان و یخ‌بندان‌های شدید وجود دارد.





شکل ۵: سری زمانی یخندان‌های شدید(الف)، ضعیف(ب) و متوسط (ج) در ایران

شکل(۵ب)، دمای یخندان‌های کم شدت را نشان می‌دهد. افزایش دمای این نمایه از مشخصاتی است که در این شکل قابل رویت است. ضریب همبستگی بسیار ضعیف  $0.088$  حاکی از فقدان معنی آماری برای این افزایش است. دمای یخندان‌های کم شدت بین صفر و  $-1^{\circ}\text{C}$  باشد. با تقسیم دوره مورد مطالعه به دو نیم دوره مشاهده شد که نیم دوره دوم دماهای یخندان روندی کاهشی یافته و به سمت صفر درجه نزدیک می‌شوند.

شکل(۵ج)، دمای یخندان‌های متوسط را بین صفر تا  $-20^{\circ}\text{C}$  درجه نشان می‌دهد.  $0.21$  درصد دمای یخندان‌های متوسط در طی  $15992$  روز دمایی کم تراز  $-12^{\circ}\text{C}$  درجه را تجربه کرده‌اند و  $98.78$  درصد دمای اتفاق افتاده بین صفر و  $-12^{\circ}\text{C}$  درجه بوده‌اند. سرددترین دمای رخ داده در این یخندان‌ها  $-20^{\circ}\text{C}$  و  $-20.51^{\circ}\text{C}$  درجه در شانزدهم و هفدهم بهمن ماه  $1352$  و پس از آن دمای  $-19.45^{\circ}\text{C}$  درجه در روزهای هفتم بهمن ماه  $1361$  و بیست و سه دی ماه  $1342$  اتفاق افتاده است. با تقسیم دوره مورد مطالعه به دو نیم دوره، دوره اول همبستگی بسیار ضعیف و منفی  $-0.065$  و دوره دوم همبستگی بسیار ضعیف و مثبت  $0.068$  بین دمای یخندان‌های متوسط با زمان مشاهده شد.

### نتیجه گیری

تحلیل کمی حالات عناصر اقلیمی ایران هم به لحاظ شناسایی اقلیم متنوع و متغیر کشور و هم به لحاظ کاربرد دانسته‌های حاصل از این شناسایی در برنامه‌ریزی و مدیریت محیطی از اهمیت شایان توجهی برخوردار است. این امر به ویژه با تکیه بر ابزار و روش‌های محکم و متقن، دستاوردهای متفاوتی از یافته‌های گذشتگان به دست می‌دهد. در تحقیق حاضر، یکی از حالات دما، یخندان ایران بر اساس داده‌های شبکه‌ای میانگین کمینه دمای روزانه ایران، برای طول دوره آماری قابل قبول اقلیمی و با توان تفکیک مناسب مورد بررسی قرار گرفت. یخندان پدیده‌ای مهم و قابل توجه در کشور است. به طوری که حدود  $58$  درصد از  $15922$  روز مورد بررسی این پدیده مشاهده شده است. بر این اساس و برخلاف یافته‌های حاصل از تحقیقات پیشین متوسط دمای یخندان کشور حدود  $-2.5^{\circ}\text{C}$  درجه سلسیوس و با ضریب تغییرات  $0.70$  درصد در دامنه ای بین  $-3/3$  و  $-1/2^{\circ}\text{C}$  درجه سلسیوس رخ می‌داده است. علی‌رغم این که سری زمانی دماهای یخندان از روند افزایشی ضعیف برخوردار بوده است، پهنه‌های تحت تأثیر آن تغییر چشم‌گیری نداشته‌اند. بنابراین می‌توان استنباط کرد که افزایش دمایی در محدوده تحت تأثیر یخندان به طور یکنواخت رخ می‌داده است. همچنین یک جهش رو به بالا از نیمة دوره آماری این یکنواختی را تایید می‌کند.

یکی از ویژگی‌های یخبدان‌های کشور که نقش مخاطره آمیز آن‌ها را افزایش می‌دهد، ضریب تغییرات مکانی آن‌هاست. این ویژگی عمدتاً در ماه‌های گذار نظیر ماه‌های مهر، اردیبهشت، آبان و اوخر ماه فروردین بارزتر است. با این وجود یخبدان‌های با گستره بزرگ‌تر با شدت کم تر رخ می‌دهند، اما مخاطره آمیز بودن آن‌ها بدین دلیل است که در نواحی که با این شرایط رخ نداده‌اند، محتمل خواهد بود. ضریب تغییرات مکانی بسیار شدید دمای یخبدان گویای این واقعیت است که اولاً طبق متون کلاسیک و رایج منشاء یخبدان‌ها از عوامل محلی و بیرونی متأثر می‌شده‌اند (این ویژگی زمینه و پیشنهاد مطالعاتی مناسبی برای تحلیل‌های دقیق‌تر است). دوم این که عوامل فرآگیر به طور یکسان در همه جا عمل نمی‌کرده‌اند. بیشترین تفاوت‌های مکانی در یخبدان‌ها در دو ماه اول هر دو فصل گذر (بهار و پاییز) رخ می‌داده است. این امر ضمن بیان این مهم که سامانه‌های فرآگیر کشور را زیر پوشش یخبدان قرار نمی‌دهند بیان‌گر اثرات محلی به دلیل مجاورت و همسایگی با سرزمین‌های حاشیه‌ای نظیر قفقاز و سیبری و یا ارتفاعات و وجود امکانات زیاد برای تنوع شبانه روزی دما هستند. تمامی ویژگی‌های یخبدان شامل بسامد، شدت و پایایی آن از دو متغیر مکانی ارتفاع و عرض جغرافیایی تبعیت بیش‌تری داشته‌اند.



## منابع

- ۱- حجاری زاده، زهرا، ناصرزاده، محمدحسین (۱۳۸۶). تجزیه و تحلیل یخندان در استان لرستان. نشریه تحقیقات کاربردی علوم جغرافیایی. ۹، ۸و.
- ۲- خورشیددوست، علی محمد، سلمانپور، رقیه (۱۳۸۷). تحلیل نوسانات و آستانه‌های یخندان‌های پاییزه و بهاره شهرستان اهر. فصلنامه فضای جغرافیایی، سال هشتم، شماره ۲۱.
- ۳- ربانی، فاطمه، کرمی، فریبا (۱۳۸۸). بررسی روند تعداد روزهای یخندان در استان خراسان شمالی. فصلنامه جغرافیای طبیعی. سال اول شماره ۴.
- ۴- رضایی، پرویز و عابدی، حسین (۱۳۸۹). بررسی روند تغییرات دمای حداقل در ایستگاه شهر رشت با تاکید بر دوره یخندان. فصلنامه جغرافیا و مطالعات محیطی. سال دوم، شماره ۴.
- ۵- طاوosi، تقی، درخشی، جعفر (۱۳۸۹). تحلیل آماری وقوع دوره‌های برگشت یخندان‌های زودرس و دیررس زاهدان در دوره آماری ۱۳۸۶-۱۳۸۷. فصلنامه فضای جغرافیایی. سال دهم، شماره ۳۰.
- ۶- فرج زاده، منوچهر، حسینی، سید امیر (۱۳۸۹). تحلیل و پنهان‌بندی زمانی - مکانی یخندان در ایران. جغرافیا و توسعه ناحیه‌ای. شماره ۱۵.
- ۷- عساکر، حسین (۱۳۸۹). احتمال تواتر و تداوم یخندان‌های زودرس و دیررس در شهر زنجان. جغرافیا و برنامه‌ریزی محیطی. سال بیستم، شماره ۱.
- ۸- علیجانی، بهلول و همکاران (۱۳۸۹). بررسی تداوم روزهای یخندان در ایران با استفاده از مدل زنجیره مارکوف. پژوهش‌های جغرافیای طبیعی. ۷۰.
- ۹- مسعودیان، سید ابوالفضل، کاویانی، محمدرضا (۱۳۸۷). اقلیم شناسی ایران. نشر دانشگاه اصفهان. چاپ اول.
- ۱۰- منتظری، مجید (۱۳۸۹). تحلیل آماری یخندان‌های کشاورزی در شهرستان نجف آباد. فصلنامه جغرافیا و مطالعات محیطی. ۴.
- 11 - Baron,W.R.,Gordon,G..A.,Borns,H.W., and Smith,D.C(1984). Frost-free record reconstruction for Eastern Massachusetts,1733-1980. Journal of Climate and Applied Meteorology,23: 317-319.
- 12- Boldyrev, B.Yu. Andreev. A.N.andDozortseva, Yu.V.(2009).Weather peculiarities of the 2007-2008 cold seasons in the Northern Caspian Sea, Russian Meteorology and Hydrology. 34: 89-92.
- 13-Bootsma A(1976).Estimating minimum temperature and climatological freezerrisk in hilly terrain. Agricul, Meteorol,16:425-443.
- 14-Boor R, mpebell, I.C,letcher, D.J.(1993). Characteristics of frost in a majorwheat -growing reajon of Australia. Aust.J.Agric.Res,44(8).1731-1743.
- 15- Cheng,Q., Yan,Zhongwei.,W.Zhaohua,F.T.Congbin., and K. Tu(2011).Trend in Temperature extremes in association with weather-intrasesonal fluctuations in eastern China, Advances in Atmospheric Sciences,28(2):297-309.
- 16-Danny H.W., K.Li., K.W. Kevin., L.Y.Wan., and J. C. Lam(2011). Heat and cold stresses in different climate zones across China, A Comparison between the 20th and 21st centuries. Building and Environment, 46: 1649-165.
- 17-Daoyi,G., W.Shaowu and Z.Jinhong (2004). Artic Oscillation influence on daily temperature variance in winter over Chona, Chinese Science Bulletin,49(6):637-642.
- 18-FattHI, E., K.Noohi(2008).Monitoring the occurrence of frost through an analysis of air masses in south west basins of Iran, DESERT,13:137-146.
- 19-Vithkevich, V.I(1963): "Agricultural Meteorology. Jerusalem, 183-305.
- 20-Laughlin J.P and J.D.Kalma (1987).Frost hazard assessment from local weather and terrain data. Agricultural and Frost Meteorol.,40:1-16.
- 21-Lindkvist,L., B. Gustavsson,t, and J. Bogren(2000) A frost assessment method for mountainous areas. Agricultural and Forest Meteorology, 102: 51–67.
- 22-Stone,R.,N.Niville., and G. Hammer(1996).Frost Northeast Australia:Trends and influences of the Southern Oscillation. Journal of Climat, 9:1896-1909.